

# Rapport d'avancement

# Première partie

On considère le problème aux limites donné sur le domaine  $\Omega = [0, L] \times [0, D]$

$$\begin{cases} -\nu \Delta u + \frac{1}{\rho} \nabla p = f & \text{dans } \Omega \\ \operatorname{div} u = 0 & \text{dans } \Omega \\ u = \phi_1 & \text{sur } \Gamma \\ \frac{1}{\rho} p n - N u = \phi_2 & \text{sur } \Gamma \end{cases}$$

où  $\partial\Omega = \Gamma \cup \Sigma$ ,  $Nu = \nu(\nabla u + \nabla u^T)n$ .

On s'intéresse à résoudre ce problème de reconstruction de données sur la partie du bord  $\Sigma$  par la méthode itérative avec relaxation qui consiste à résoudre itérativement :

- Pour les itérations  $k$  paires :

$$\begin{cases} \nu \Delta u_1^k = \frac{1}{\rho} \frac{dp^k}{dx} & \Omega \\ \nu \Delta u_2^k = \frac{1}{\rho} \frac{dp^k}{dy} & \Omega \\ \frac{du_1^k}{dx} + \frac{du_2^k}{dy} = 0 & \Omega \\ u_1^k(0, y) = 0, \left( \frac{du_1^k}{dy} + \frac{du_2^k}{dx} \right)(0, y) = 0 & 0 \leq y \leq D \\ u_1^k(L, y) = 0, \left( \frac{du_1^k}{dy} + \frac{du_2^k}{dx} \right)(L, y) = 0 & 0 \leq y \leq D \\ u_1^k(x, 0) = 0, \left( -p^k + 2 \frac{du_2^k}{dy} \right)(x, 0) = 0 & 0 \leq x \leq L \\ - \left( \frac{du_1^k}{dy} + \frac{du_2^k}{dx} \right)(x, D) = \varphi_1^k(x), u_2^k(x, D) = \varphi_2^k(x) & 0 \leq x \leq L \end{cases}$$

où  $\varphi_1^0, \varphi_2^0$  sont arbitraires,  $\varphi_1^k(x) = \theta \left( -\frac{du_1^{k-1}}{dy} - \frac{du_2^{k-1}}{dx} \right)(x, D) + (1 - \theta)\varphi_1^{k-1}(x)$

$$\varphi_2^k = \theta u_2^{k-1}(x, D) + (1 - \theta)\varphi_2^{k-1}(x) \text{ pour } k \geq 2$$

- Pour les itérations  $k$  impaires :

$$\left\{ \begin{array}{ll} \nu \Delta u_1^k = \frac{1}{\rho} \frac{dp^k}{dx} & \Omega \\ \nu \Delta u_2^k = \frac{1}{\rho} \frac{dp^k}{dy} & \Omega \\ \frac{du_1^k}{dx} + \frac{du_2^k}{dy} = 0 & \Omega \\ u_1^k(0, y) = 0, \left( \frac{du_1^k}{dy} + \frac{du_2^k}{dx} \right) (0, y) = 0 & 0 \leq y \leq D \\ u_1^k(L, y) = 0, \left( \frac{du_1^k}{dy} + \frac{du_2^k}{dx} \right) (L, y) = 0 & 0 \leq y \leq D \\ \left( \frac{du_1^k}{dy} + \frac{du_2^k}{dx} \right) (x, 0) = 0, u_2^k(x, 0) = 0 & 0 \leq x \leq L \\ u_1^k(x, D) = h_1^k(x), \left( p^k - 2 \frac{du_2^k}{dy} \right) (x, D) = h_2^k(x) & 0 \leq x \leq L \end{array} \right.$$

où

$$h_1^k(x) = u_1^{k-1}(x, D)$$

$$h_2^k(x) = \left( p^{k-1} - 2 \frac{du_2^{k-1}}{dy} \right) (x, D) \text{ pour } k \geq 1.$$

La solution analytique des équations de Stokes par la méthode de la séparation des variables :

$$\begin{aligned} u_1 &= (a \cos(\omega x) + b \sin(\omega x)) \left[ (\alpha e^{\omega y} + \beta e^{-\omega y}) + \frac{\omega}{2} y (c e^{\omega y} - d e^{-\omega y}) \right] \\ u_2 &= (b \cos(\omega x) - a \sin(\omega x)) \left[ (-\alpha + \frac{c}{2}) e^{\omega y} + (\beta - \frac{d}{2}) e^{-\omega y} - \frac{\omega}{2} y (c e^{\omega y} + d e^{-\omega y}) \right] \\ p &= \omega (a \sin(\omega x) - b \cos(\omega x)) (c e^{\omega y} + d e^{-\omega y}) \end{aligned}$$

En utilisant l'algorithme décrit ci-dessus on trouve

• Pour  $k$  paire

$$\begin{aligned} u_1 &= \sum_n B_n^k (2\beta_n^k sh(w_n y) + w_n y cosh(w_n y)) \sin(w_n x) \\ u_2 &= \sum_n B_n^k (-2\beta_n^k cosh(w_n y) + cosh(w_n y) - w_n y sh(w_n y)) \cos(w_n x) \\ p &= \sum_n -2B_n^k w_n sh(w_n y) \cos(w_n x) \end{aligned}$$

• Pour  $k$  impaire

$$\begin{aligned} u_1 &= \sum_n A_n^k (2\alpha_n^k cosh(w_n y) + w_n y sh(w_n y)) \sin(w_n x) \\ u_2 &= \sum_n A_n^k (-2\alpha_n^k sh(w_n y) + sh(w_n y) - w_n y cosh(w_n y)) \cos(w_n x) \\ p &= \sum_n -2A_n^k w_n cosh(w_n y) \cos(w_n x) \end{aligned}$$

où

$$w_n = \frac{n\pi}{L}, \forall n \in \mathbb{N}$$

$$\varphi_1(x) = \sum_n K_n \sin(w_n x), \quad K_n = \frac{2}{L} \int_0^L \psi_1 \sin(w_n x) dx$$

$$\varphi_2(x) = \sum_n L_n \cos(w_n x), \quad L_n = \frac{2}{L} \int_0^L \psi_2 \cos(w_n x) dx$$

pour  $k = 2m, m \in \mathbb{N}$  :

$$B_n^{2m} = \frac{(2L_n w_n - K_n)}{2w_n cosh(w_n D)} (\theta tgh^2(w_n D) + (1 - \theta))^m,$$

$$\beta_n^{2m} = \frac{-K_n}{2(2w_nL_n - K_n)} - \frac{w_nDtgh(w_nD)}{2} + \frac{w_nD}{2cosh(w_nD)sh(w_nD)} \left( \frac{2m\theta tgh^2(w_nD)}{\theta tgh^2(w_nD) + (1 - \theta)} \right),$$

pour  $k = 2m + 1$ ,  $m \in \mathbb{N}$  :

$$A_n^{2m} = \frac{(2L_nw_n - K_n)}{2w_ncosh(w_nD)} (\theta tgh^2(w_nD) + (1 - \theta))^m tgh(w_nD),$$

$$\alpha_n^{2m} = \frac{-K_n}{2(2w_nL_n - K_n)} - \frac{w_nDtgh(w_nD)}{2} + \frac{w_nD}{2cosh(w_nD)sh(w_nD)} \left( \frac{(2m + 1)\theta tgh^2(w_nD) + (1 - \theta)}{\theta tgh^2(w_nD) + (1 - \theta)} \right),$$

En utilisant l'identit  de Parseval on montre que

$$\|u_1^k\|_{L^2(\Omega)}^2 = \frac{L}{2} \sum_n \left[ \left( \frac{2L_nw_n - K_n}{2w_ncosh(w_nD)} \right)^2 \int_0^D (2\beta_n^{2m}sh(w_ny) + w_nycosh(w_ny))^2 dy \right] \\ (\theta tgh^2(w_nD) + (1 - \theta))^{2m}$$

$$|\theta tgh^2(w_nD) + (1 - \theta)| \leq 1 \iff -1 \leq \theta tgh^2(w_nD) + (1 - \theta) \leq 1$$

$$\iff 0 \leq \theta (1 - tgh^2(w_nD)) \leq 2$$

$$\iff 0 \leq \theta \leq \frac{2}{1 - tgh^2(w_nD)}$$

## Deuxième partie

### Numérique

On considère le problème de reconstruction d'une inclusion  $\omega$  immergée dans un fluide contenu dans un plus grand domaine borné  $\Omega$ , par une mesure sur le bord  $\partial\Omega$ . Le mouvement du fluide est gouverné par les équations de Stokes. On étudie le problème inverse de reconstruction de  $\omega$  grâce aux méthodes d'optimisation de forme en définissant la fonctionnelle cout de Kohn-Vogelius.

Sur un ouvert  $\Omega$  borné connexe et Lipschitzien de  $\mathbb{R}^2$  de frontière  $\partial\Omega = \Sigma$ . Pour  $\omega \in O_{ad}$   $\partial\omega = \Gamma$ , on considère le problème aux limites surdéterminé de Stokes suivant :

$$\left\{ \begin{array}{ll} -\mu\Delta u + \nabla p = 0 & \text{dans } \Omega \setminus \bar{\omega} \\ \operatorname{div} u = 0 & \text{dans } \Omega \setminus \bar{\omega} \\ u = 0 & \text{sur } \Gamma \\ u = f & \text{sur } \Sigma \\ -\mu\partial_n u + pn = g & \text{sur } \Sigma \end{array} \right.$$

On considère la fonctionnelle cout de Kohn-Vogelius suivante :

$$J(\omega) := \frac{1}{2}\mu \int_{\Omega \setminus \bar{\omega}} |\nabla(u - v)|^2,$$

où  $(u, p) \in H^1(\Omega \setminus \bar{\omega}) \times L_0^2(\Omega \setminus \bar{\omega})$  est l'unique solution du problème de Stokes suivant :

$$\left\{ \begin{array}{ll} -\mu\Delta u + \nabla p = 0 & \text{dans } \Omega \setminus \bar{\omega} \\ \operatorname{div} u = 0 & \text{dans } \Omega \setminus \bar{\omega} \\ u = 0 & \text{sur } \Gamma \\ u = f & \text{sur } \Sigma \end{array} \right.$$

et  $(v, q) \in H^1(\Omega \setminus \bar{\omega}) \times L^2(\Omega \setminus \bar{\omega})$  est l'unique solution du problème :

$$\left\{ \begin{array}{ll} -\mu\Delta v + \nabla q = 0 & \text{dans } \Omega \setminus \bar{\omega} \\ \operatorname{div} v = 0 & \text{dans } \Omega \setminus \bar{\omega} \\ v = 0 & \text{sur } \Gamma \\ -\mu\partial_n v + qn = g & \text{sur } \Sigma \end{array} \right.$$

La dérivée de la fonctionnelle en  $\omega$  dans la direction  $V$  s'écrit

$$DJ(\omega).V = - \int_{\partial\omega} (\mu(\partial_n u - \partial_n v) - (pn - qn)).\partial_n u V_n + \frac{1}{2}\mu \int_{\partial\omega} |\nabla u - \nabla v|^2 V_n$$

où le champ de déformation  $V$  est solution du problème au limite

$$\begin{cases} -\Delta V + V = 0 & \text{dans } \Omega \setminus \bar{\omega} \\ V = 0 & \text{sur } \partial\Omega \\ \partial_n V = -\nabla J & \text{sur } \partial\omega \end{cases}$$

Pour reconstruire numériquement l'objet  $\omega$  solution du problème d'optimisation, nous avons utilisé l'algorithme suivant

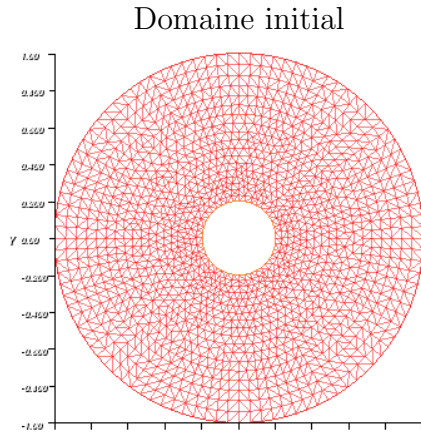
- Choisir un domaine initial  $\omega_0$ , une précision  $\varepsilon$  et un nombre maximale d'itérations  $N_{max}$ ,
- initialiser le nombre d'itération  $k \leftarrow 0$ ,
- tant que  $\|\nabla J(\omega_k)\| \geq \varepsilon$  et le nombre d'itérations  $\leq N_{max}$  faire,
- Résoudre le problème de Dirichlet, le problème de Neumann et le problème du champ de déformation sur  $\omega_k$ ,
- Calculer  $\nabla J(\omega_k)$ ,
- Déplacer les coefficients associés à la forme :  $\omega_{k+1} = (I + \alpha_k V)\omega_k$ .

Le pas optimal est déterminé à chaque itération à l'aide de l'algorithme de recherche linéaire de Frank-Wolf.

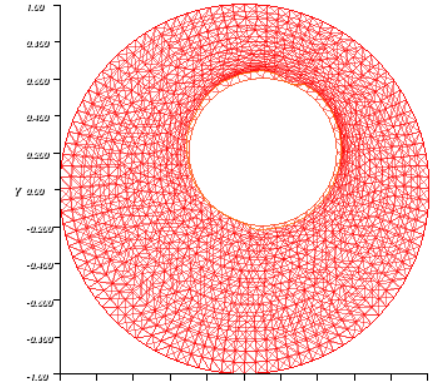
Dans l'exemple suivant, nous supposons que le domaine  $\Omega$  est le disque unité de  $\mathbb{R}^2$ . On considère une donnée  $g$  sur  $\Sigma$ , la donnée  $f$  est obtenue par la formule  $v|_{\Sigma} = f$  où  $v$  est la solution du problème de Neumann sur le domaine exact avec  $\Gamma$  donné. Une fois  $f$  est construite, on essaye de retrouver  $\Gamma$  à partir de  $f$  et  $g$  en partant d'un domaine initial quelconque.

Les simulations numériques sont représentées dans les figures suivantes.





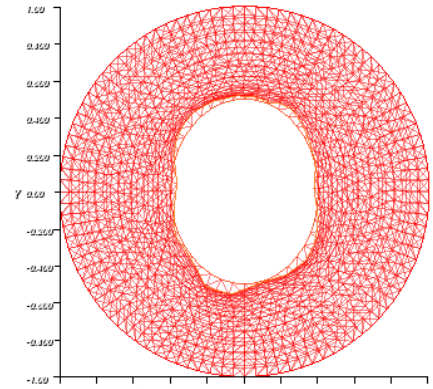
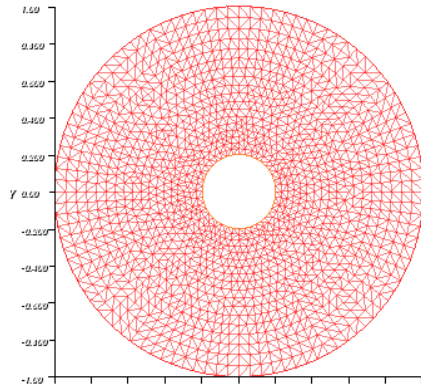
Domaine approché et domaine exact



$$J(\omega) = 6.38772$$

$$\nabla J(\omega) = 0.990476$$

$$iterations = 42$$



$$J(\omega) = 5.64227$$

$$\nabla J(\omega) = 1.25082$$

$$iterations = 40$$

FIGURE 1 –